

Для успешного освоения нефтегазового потенциала территории крайне важно создание физико-геологической модели месторождения, включающую в себя гидродинамическую, фильтрационно-емкостные модели резервуара.

Сведения о флюидопроводящих каналах являются для нефтяных компаний крайне существенными - как основы фильтрационной модели резервуара

Для нефтяных компаний важнейшими вопросами поиска и освоения залежей нефти в трещиноватых коллекторах является создание методологии и технологий «прямого» прогнозирования коллекторов методами сейсморазведки.

Однако выявление такого типа коллекторов методами сейсморазведки - весьма специфическая задача, и традиционные технологии оказываются не эффективными.

В существующих графах геофизических компаний пока не создано унифицированной методики.

На сегодняшний день в мире появился лишь некоторый ряд специализированных технологий исследований трещиноватости.

Однако, большинство из них относятся к классу косвенных. Часто требуют проведения специализированных дополнителльных полевых работ, что удорожает сейсморазведочный проект в разы.

-специальные дополнительные полевые работы, кратно удорожающие проект -косвенные методы (о пространственном вертикальном положении объекта судят косвенно) -методы, основанные на изучении рассеянной компоненты волнового поля (низкая детальность) -методы, весьма не устойчивые к помехам Характеристика апробированности, режима применения и примерного уровня затраттехнологий исслеостидования трещиноватости (Левянт В.Б., Козлов Е.А. и.др) Масш Харак Форма результатов Затратность Степень апробированности, Примечания Технология, метод. способ. Режим тер (относит.стоимость) объем применения применения работ таб Азимутальный анализ анизотропии РР-волн <<λ Поле+ Стандартная на Западе Карты ориентации и распределения Увеличение стоимости Производственный Мощность интервала исследований > (AVOAZ) плотности микро- и мезотрешиноватости процедура с 5-10 летним обрабо примерно в 1.5 раза поопытом применения, в Росси 3сравнению с обычными Только латеральная разрешенность тка системами 5 объектов Только при азимутальной ориентировке трешин. Решение Азимутальный анализ анизотропии обменных <<λ Поле+ Карты ориентации и распределения Увеличение стоимости полевых Примерно 10-15 объектов на Опытнообратной задачи неоднозначно (PS) волн плотности микро- и мезотрещиноватости работ и обработки на 20-30% Запале и в Китае. В России производственный обрабо отн. AVOAZ на PP-волнах тка опыта нет Сейсмический локатор бокового обзора <<λ. В 2-3 раза ниже стоимости ~500 км² на Куюмбинском Поле+ Куб и карта поля рассеянных волн Сервисный режим Решение обратной задачи съёмки 3D производственных (СЛБО) обрабо месторождении с неоднозначно. тка подтверждением последующим обемов Низкая вертикальная разрешенность бурением Миграция с весовыми коэффициентами (ФП) В Восточной Сибири - 2000 км2 <<λ. Обраб Карты поля энергии рассеянных волн Затраты близкие к выполнению Производственный Решение обратной задачи в режиме ПЭРВ (поля трещиноватости по (ПЭРВ, открытой трещиноватости) миграции или Киргофа в аторском исполнении. В отка неоднозначно. ланным 3D) Западной Сибири Низкая вертикальная разрешенность «Тюменьнефтегеофизика» >λ. Миграция с весовыми коэффициентами, Обраб Погоризонтные срезы с улучшенным Затраты близкие к выполнению Несколькой площадей съёмок Производственный Решение обратной задачи проявлением линейных неоднородностей ослабляющими зеркальные отражения) в миграции или Киргофа, или неоднозначно. отка режиме МИРО по данным 3D (линиаментов)-макротрещин (2-3 «продолжения поля» Низкая вертикальная разрешенность варианта с разной степенью ослабления зеркальных отражений) Волновое ОГТ по данным 2D. Вычитание <<λ Обраб Разрезы поля рассеянных волн Затраты превышающие Обработано в сервисном Сервисный (из-за Решение обратной задачи выполнению миграции Киргофа ноу-хау) режим зеркальных отражений на сейсмограммах. отка (дифракторы) режиме более 7000 км 2D (по неоднозначно. сведениям авторов) обработки Низкая вертикальная разрешенность производственных объёмов Текстурнно-спектральный анализ. Вычитание <<λ Обраб Разрезы и погоризонтные срезы поля Низкие затраты на RP филтр и 4 объекта Опытно-Решение обратной задачи модели регулярных волн на суммарных энергии рассеянных волн (ПЭРВ) расчет энергии рассеянных производственный отка неоднозначно. трассах куба PSDM по данным 3D волн. Низкая вертикальная разрешенность Геометрические атрибуты: когерентность, >λ Обраб Карты- погоризонтные срезы Низкие затраты Производственный Решение обратной задачи очень Стандартные широко кривизна, наклонс перебором параметров геометрических атрибутов по 2-3 неооднозначно Весьма отка используемые процедуры определяющих разрешенность по данным 3D варианта высокоамплитудные и протяженные нарушения. Весьма чувствительносты к качеству корреляции и помехам >λ Погоризонтные срезы дуплексной Затраты близкие к выполнению 3 объекта + 4 в стадии Опытно-Только при длине субвертикальной Миграция дуплексных волн Обраб миграции PSDM отка миграции в целевом интервале обработки производственный трещины много больше зоны в сервисном Френеля и наличии опроной границы. режиме Низкая вертикальная разрешенность. Обраб Применение частотно-зависимых атрибутов <<λ Карты прогнозной проницаемости Низкие затраты 3-4 объекта Опытный режим Резкая зависимость от частоты для прогноза проницаемости сейсмоимпульса.. Только при опоре отка на данные ГИС. Низкая вертикальная разрешенность. Низкая надежность

Целевое назначение специализированной интерпретации материалов МОГТ 2D, 3D:

- детализация геологического строения, путем получения дополнительной информации и новых знаний о разрывных нарушениях различного ранга;
- картирование «напрямую» зон трещиноватости коллекторов с улучшенными фильтрационно-емкостными свойствами;
- получение сведений о флюидопроводящих каналах являются для нефтяных компаний крайне существенными как основы фильтрационной модели резервуара

Для решения поставленных задач использованы специализированная обработка и интерпретация сейморазведочных данных по методике распознавания трещиноватых сред (MPTC), разработанной в Горном институте УрО РАН. Данная методика базируется на динамическом анализе поля упругих отраженных продольных волн, зарегистрированного при сейморазведочных работах в модификации ОГТ.

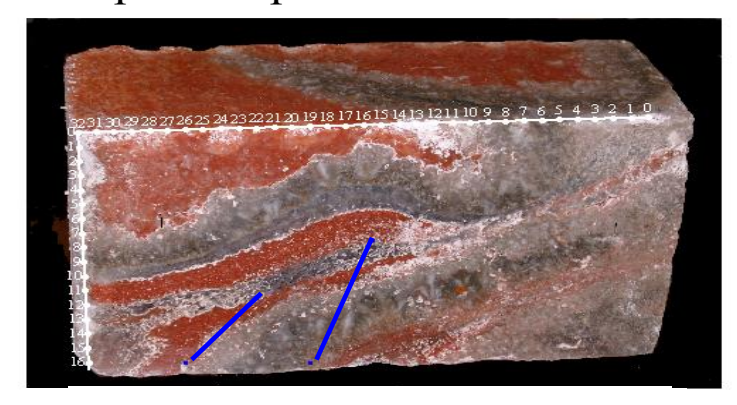
Так как в общем случае обратная задача сейсморазведки неоднозначна, нами рассматривались интерпретационные методы, использующие эмпирически найденные зависимости «сейсмические параметры — физические свойства геосреды». Наши исследования последних лет направлены на поиск связей между физико-механическими (в частности - трещиноватыми) свойствами среды и совокупностью сейсмических динамических параметров отраженных продольных волн, зарегистрированных на поверхности при традиционных системах наблюдения. В этом направлении осуществлялся детальный поиск наиболее информативных и устойчивых динамических параметров из всего их многообразия, исследовались их поведение и степень чувствительности, в зависимости от параметров трещиноватости.

Задача нахождения векторов идентификационных динамических параметров для трещиноватых объектов разных типов и классов решалась путем применения независимых, принципиально разных методов, как в лаюбораторных, так и в натурных условиях.

1. Использовались методы имитационного математического моделирования трещины различных типов: одиночные наклонные, квазивертикальные,

синтетических волновых полей для множества (более 60) моделей, содержащих с размерами много больше длины волны сигнала, соизмеримых с длиной волны Физико-геологическая Синтетический Спектральная характеристика сигнала, много меньше длины волны сигнала, временной разрез временного разреза (centr) 810 790 скопление мелких разноориентированных 2450 m/c пл.СМТ: 15 тр-н СМТ трещин, с наложением шума $\Delta z=0.1 \text{ M}$ ∆H=1.5 м различного уровня. $\Delta x = 4, 2, 3, 4 \text{ M}$ minima Maria пл.В: 15 тр-н *********** ∆z=0.1 м ∆Н=0.5 м $\Delta x = 4, 2, 3, 4 \text{ M}$ CMT Частотная координата центройда в интервале пл. СМТ 3120 3120 3 020 Частотная координата центройда 119 — в интервале пл. В

- **<u>2. Физического моделирование.</u>** На образцах естественных горных пород осуществлялась полевая система наблюдений МОГТ 2-D; выполнялись серии экпериментов:
- -при различных ситуациях разрывных нарушений;
- -цилиндрическое отверстие вкрест образца;
- -при различных одноостных нагружениях образца вплоть до его разрушения,
- вдоль напластований, вкрест слоистости,
- -измерения производились в высокочастотном диапазоне.



- образец сильвинитовой породы

-разрывное нарушение -

Временные разрезы

- без трещин

- с одной трещиной



— -нижняя грань образца



Пример физического моделирования

3. Физическое моделирование: система наблюдения ОГТ 3-D осуществлялась на

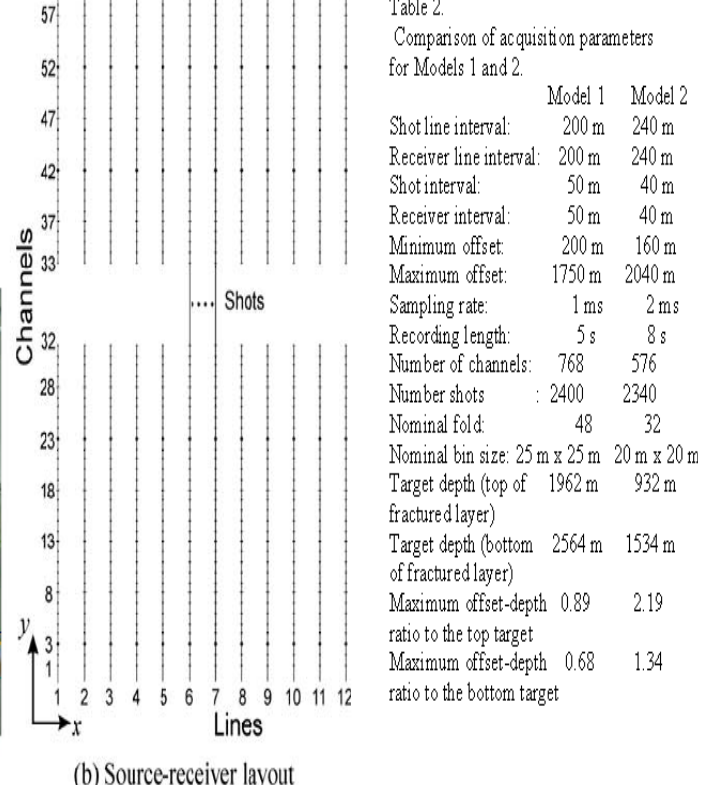
физических моделях размерамим 4х4 м из искусственных материалов – эпоксилита.

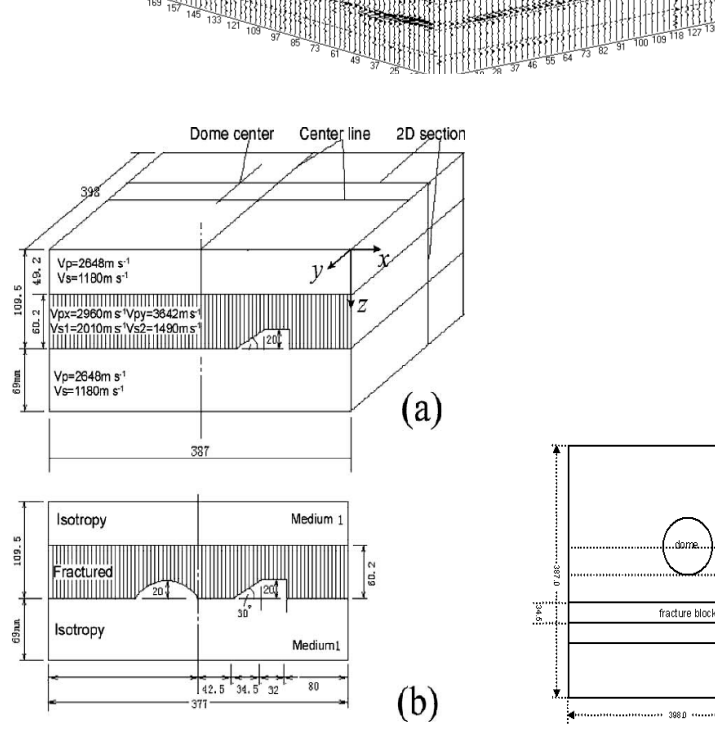
Физические модели погружены в бассейн с водой, выполнены и установлены в Китайском университете нефти. В базовой модели симитирован слой вертикальных трещин из тонких эпоксилитных листов. Сейсмические данные 3-D передациим

Британской Геологической Службой (British Geological Survey (BGS) в ра-

Договора о международном совместном научном сотрудничестве между









(a) Modelling system

The maximum movement in the x, y and z directions are 230 x 230 x. 100 cm, respectively, and the position error is less than 0.1 midown by 1:10 000 with scale up frequencies of 10 000:1. There is a dome and square waves pulser/receiver Model 5077PR (a trademark of square waves) is used, and the dominant frequency is 230 kHz

Figure 1. (a) The 3-D physical model, and (b) a 2-D section through the dome centre. The numbers that specify the dimensions are in millimetres, and the model is scaled a fault block inside the fracture laver.

3. Метод «обучающих объектов» (тренинг-объекты). Использовались полевые сейсморазведочные данные МОГТ, полученные в условиях естественного залегания на объектах с заведомо известной геологией и параметрами трещиноватости в различных регионах для разных литотипов пород: терригенные, карбонатные, галогенные.

Такими объектами явились протяженные одиночные трещины и зоны скопления мелких разноориентированных трещин, вскрытые и зафиксированные в шахтных выработках Верхнекамского месторождения калийных солей, в этом случае использованы данные шахтной сейсморазведки. Объектами тренинга стали также подтвержденные скважинами нефтяные коллектора трещинного типа в районе Передовых складок Урала, на территории Предуральского прогиба в известняках турнейского яруса структур облекания франско-фаменских рифов; терригенные отложения уникального трещинного коллектора баженовской свиты на территории Западной Сибири, а так же зафиксированные карстовые явления на поверхности и в приповерхностной зоне на площадях интенсивного развития сульфатно-карбонатного карста г. Кунгур Пермский регион.)

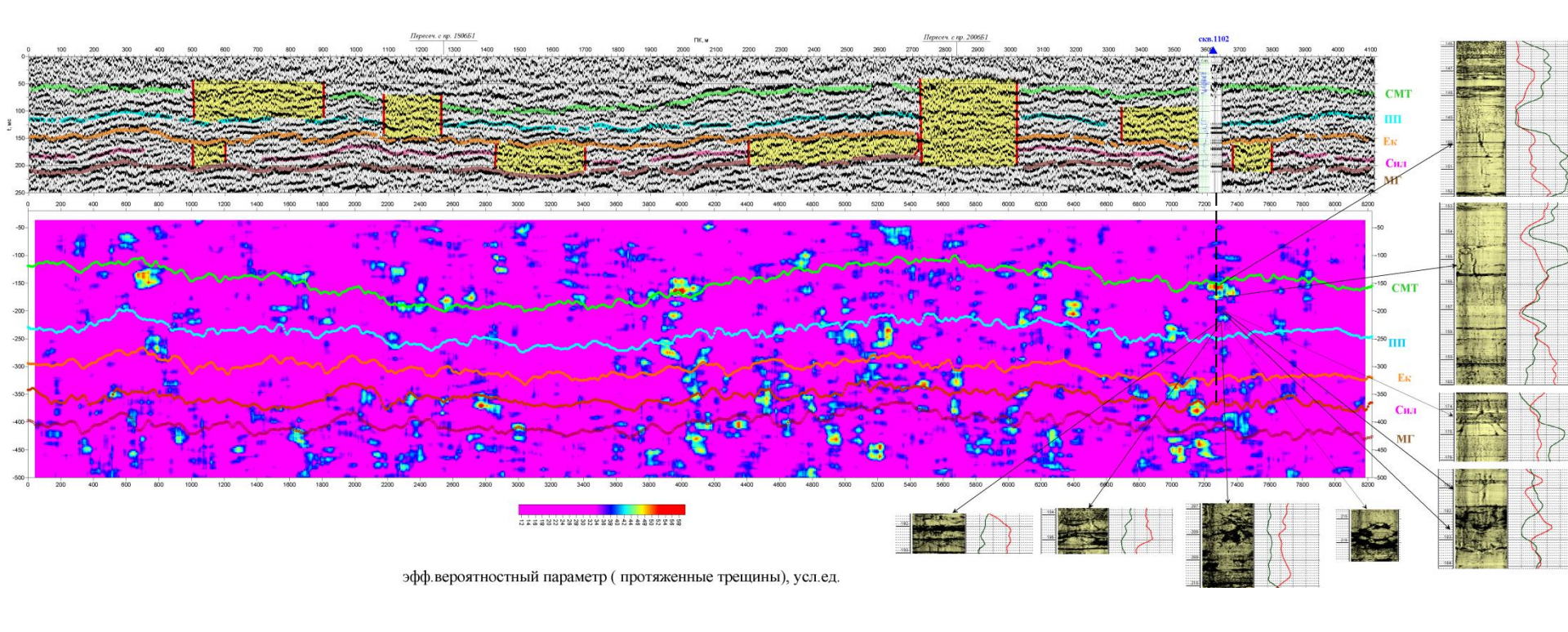
Динамические параметры в поисковых признаках

В результате исследовании связей «динамические параметры — параметры трещиноватости» установлены поисковые признаки для трещиноватых объектов в следующих динамических параметрах отраженных Р-волн:

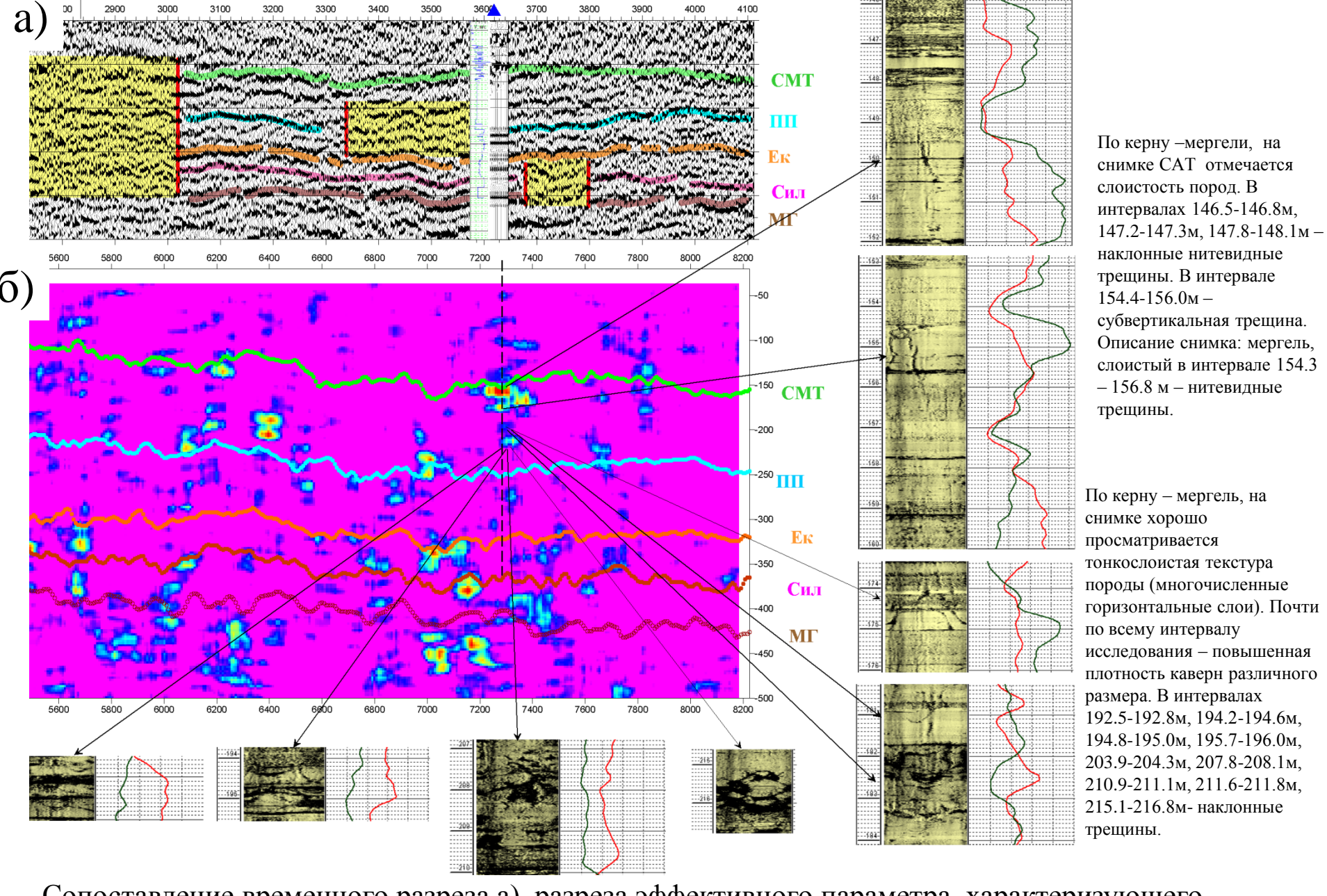
- средние амплитуды **Аср**;
- частотная координата центроида с;
- мксимум спектра fm;
- ширина спектра <mark>fw</mark> ;
- верхняя и нижняя граничные частоты 🛍 , 🏗
- градиенты средних амплитуд по X и по $t : \mathbf{grad} \times \mathbf{Acp}$,
- grad t Acp;
- разность амплитудных спектров, определенных в интервалах содержащем и не содержащем трещины **ΔA**(**f**);
- модули динамических параметров.

В основу предлагаемой методики распознавания трещиноватых сред положен подход динамического анализа поля отраженных продольных волн. Данный подход базируется на совместном анализе вектора динамических атрибутов продольных отраженных волн.

	Фактор 1 (вертикальная трещина)		Фактор 2 (наклонная трещина)		Вложенные группы			
Параметр	класс I достоверность аномалии, если значение ≥ 2σ	класс II достоверность аномалии, если значение σ<<2σ	класс III достоверность аномалии, если значение≥2 σ	класс IV достоверност аномалии, ес значение $\sigma < < 2\sigma$	ТЬ			
1. Средняя амплитуда A ср. 2. Градиент средних амплитуд grad(Acp.)	1	0,5 0,5	1	0,5 0,5	Аgrad(Acp.)> 20 вертикальная трещина			
3. Частотная координата центроида f ц	1	0,5	1	0,5	наклонная трещина			
4.Участок нулевых значений средних амплитуд X (Acp.=0)	< 1/6 D	< 1/6 D	≥1/6 D 1	≥1/6 D	$X(\Delta f \mathbf{u} > 2\sigma) > 1/6 D$ $X(A cp.=0) > 1/6 D$			
5.Участок аномальных значений частоты центроида X(f ц) 6. Участок максимальных		0	1	1	$X(\Delta A(f) \text{ max}) > 1/6 D$			
значений разности амплитудных спектров $X(\Delta A(f)max)$	0	0	1	1				
Суммарная оценка класса	3	1,5	6	4,5	 Дендрограмма			
Блок-схема анализ: динамических	a ΔAcp.> 2σ	Δgrad(Ac	$\mathbf{p.)} > 2\sigma$	μ > 2σ	наклонная трещина			
параметров		если			вертикальная трещина			
σ - погрешностьD - диаметр зоныФренеля	Γ Ь $X(Acp.=0) > 1/6 D$ $X(\Delta f u > 2\sigma) > 1/6 D$ $X(\Delta A(f) max) > 1/6 D$							
	вертикальная трещина			клонная ещина				

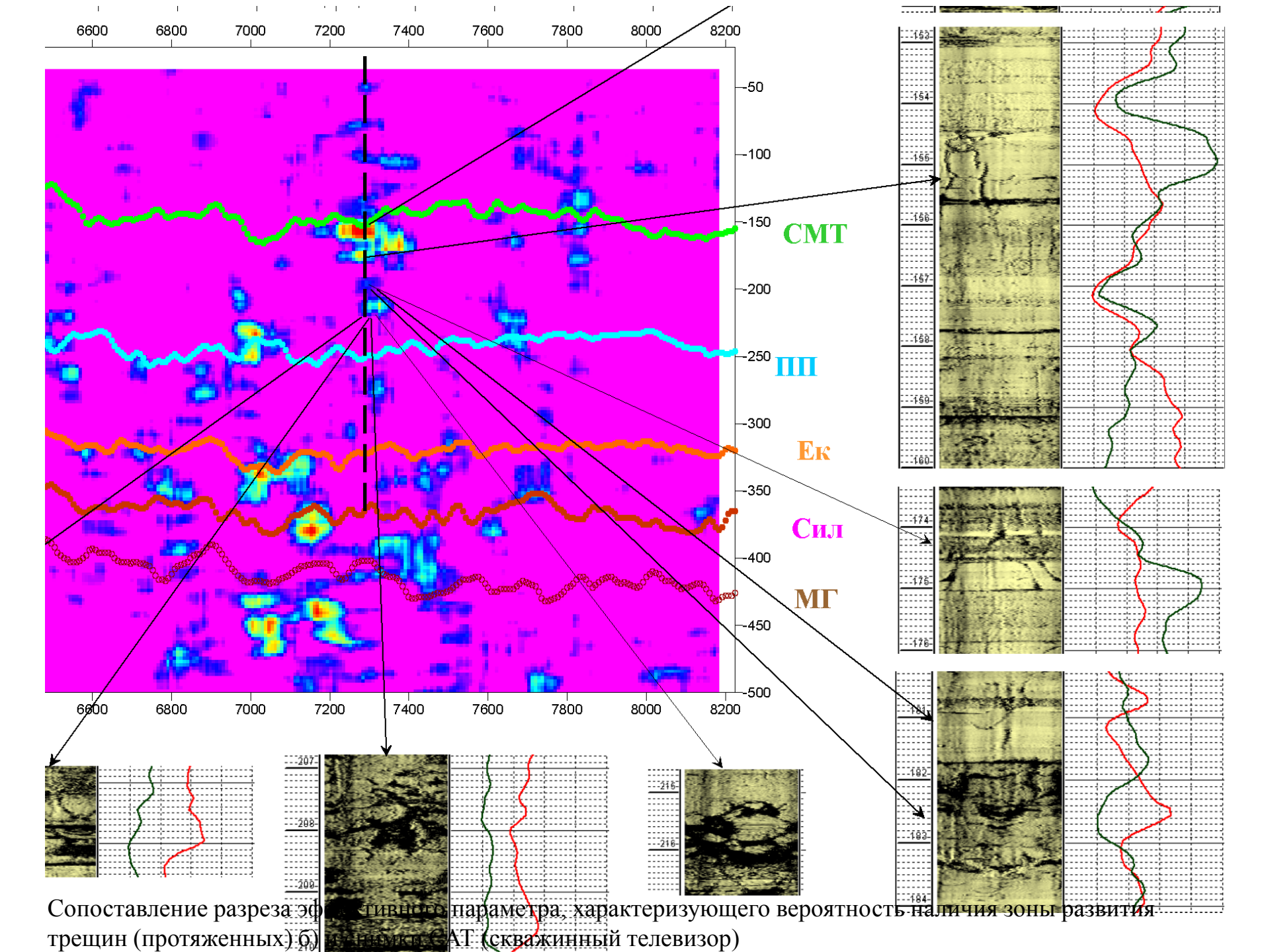


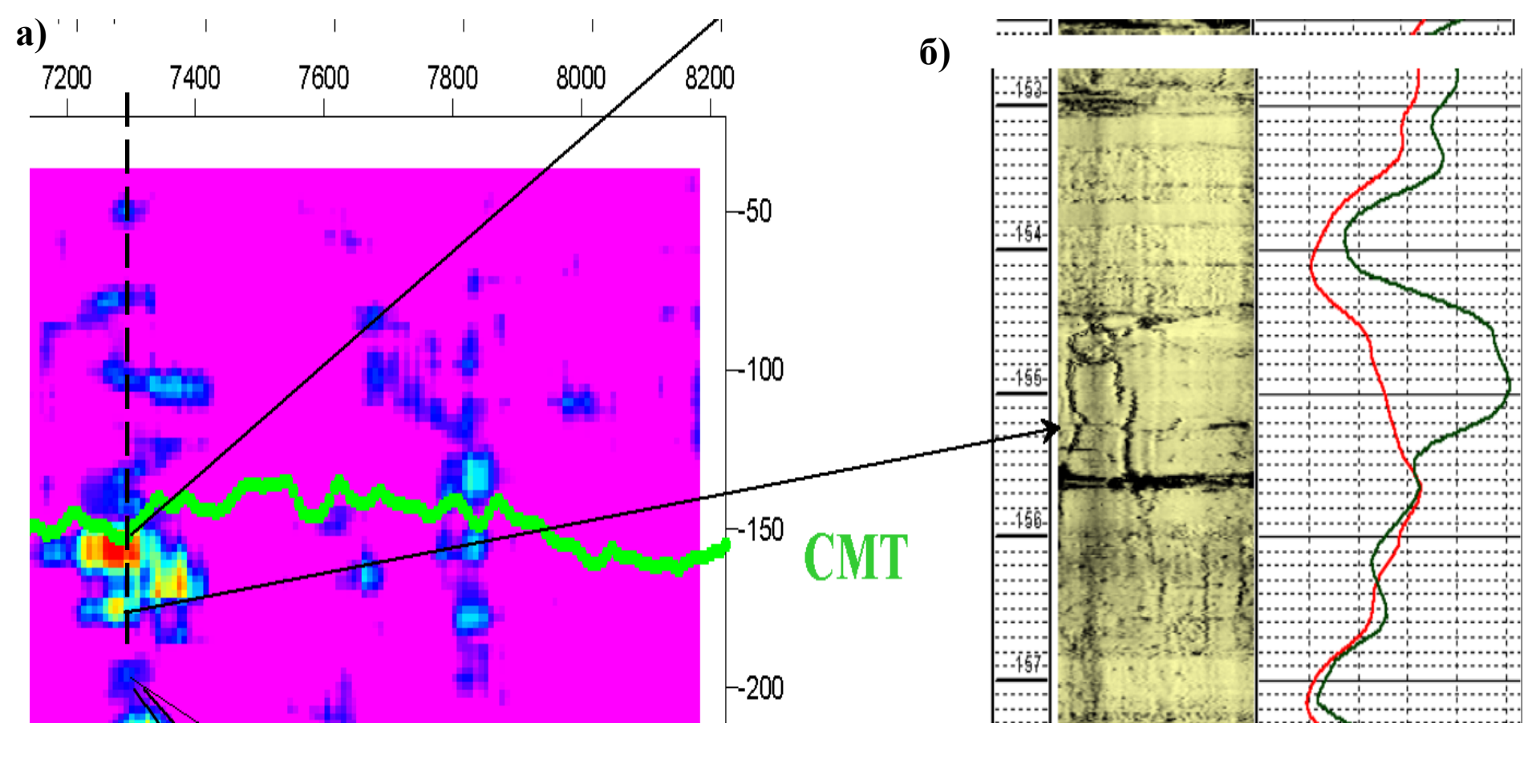
Сопоставление временного разреза а), разреза эффективного параметра, характеризующего вероятность наличия зоны развития трещин (протяженных) б) и снимки САТ (скважинный телевизор)



ч. с пр. 2006Б1

Сопоставление временного разреза а), разреза эффективного параметра, характеризующего вероятность наличия зоны развития трещин (протяженных) б) и снимки САТ (скважинный телевизор)



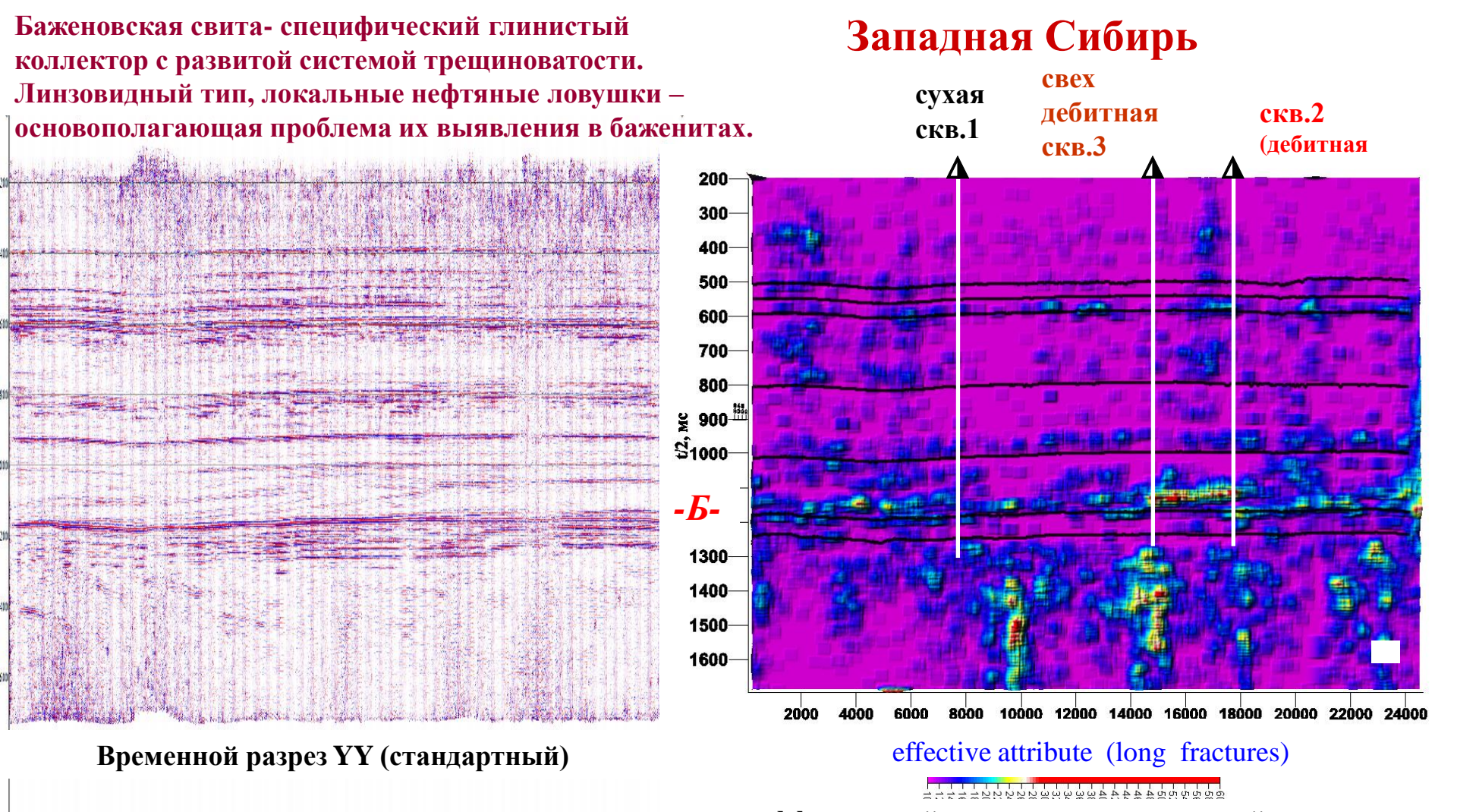


По керну –мергели, на снимке САТ отмечается слоистость пород. В интервалах 146.5-146.8м, 147.2-147.3м, 147.8-148.1м – наклонные нитевидные трещины. В интервале 154.4-156.0м – субвертикальная трещина. Описание снимка: мергель, слоистый в интервале 154.3 – 156.8 м – нитевидные трещины.

Сопоставление разреза эффективного параметра, характеризующего вероятность наличия зоны развития трещин (протяженных) а) и снимки САТ (скважинный телевизор) В интервале 154.3 – 156.8 м – нитевидные трещины.

Задача 1

Выявление и картирование зон развития трещиноватости «напрямую»



Эффективный параметр, оценивающий вероятность наличия трещиноватого объекта.

Две скважины с привлекательными дебитами пространственно оказались приуроченными к ярко выраженной локальной зоне повышенных значений эффективного параметра вероятности наличия протяженных трещин в интервале баженовской свиты. Кроме того, на разрезе выявились узкие субвертикальные зоны дезинтыграции пород, пронизывающие ниже баженовских отложений — доюрское основание. Скважина с аномально (со сверхдебитами) высокими дебитами попадает в такую наиболее выраженную крупную зону. «Сухая» же скважина не попала ни в одну зону.

ОПЫТ ПРИМЕНЕНИЯ МРТС в ПРИКАСПИЙСКОЙ НГП

Благодаря возможности MPTC высокой дифференциации и тонкослоистому расчленению нефтеносных толщ по плотностному (трещиноватому) признаку решается следующая задача

Задача 5

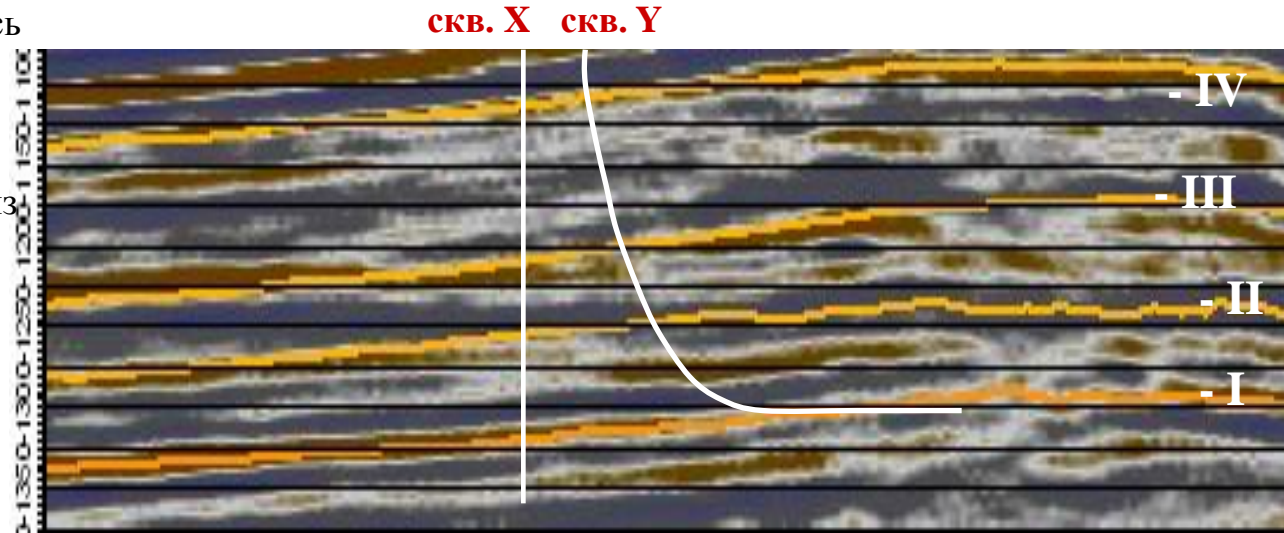
Доразведка недоизученных, либо пропущенных ранее по геологическим или технологическим причинам коллекторов на уже осваиваемых месторождениях (на примере Прикаспийской НГП)

Решение данной задачи позволяет производить проектирование горизонтальных скважин, коррекцию их параметров и других элементов разработки

Северный сектор акватории Каспийского моря

Временной разрез 2-D из традиционного куба 3-D.

Горизонтальная скважина Y, бурилась на эксплуатацию терригенных отложений неокомского возраста, с которыми связаны коллектора — песчаники. При проходке на одном из горизонтальных участков скважина попала в зону улучшенных коллекторских свойств с высокой проницаемостью. Здесь отмечалось аварийное явление - «скважина газует», потребовавшее тампонаж.



На разрезах эффективного параметра повышенные значения- трещиноватые породы- выражены желтым цветом.

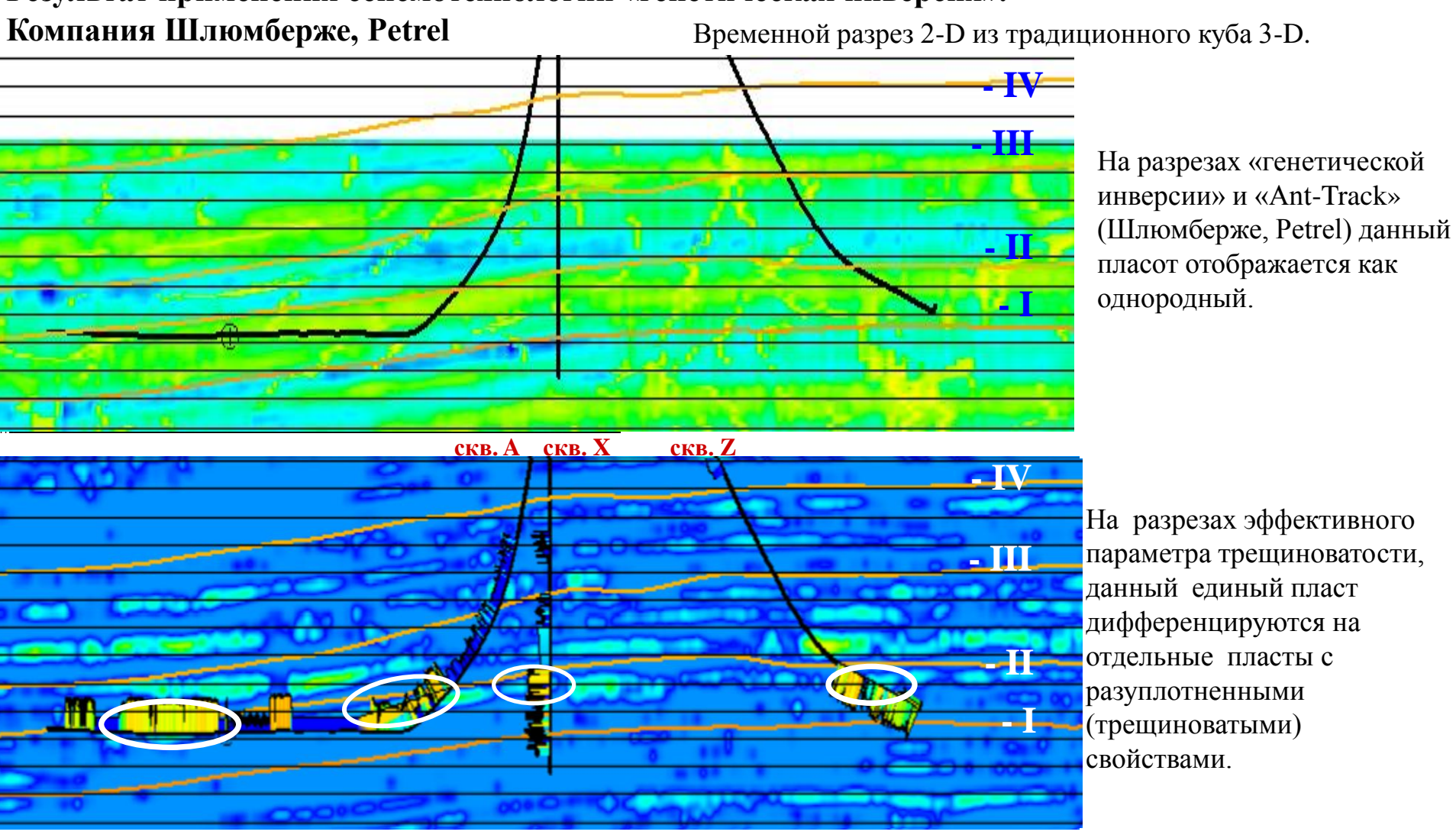
Обратите внимание на зоны трещиноватости, пересекаемые скважинами, попавшие в высвеченные овалы.

Здесь же проявляется повышенная проницаемость, при проведении испытаний в скважинах.

Северный сектор акватории Каспийского моря.

По данным бурения, пласт терригенных неокомских пород представляет из себя пачку переслаивающихся трех пластов песчаников и глинистых перемычек. Однако, на временных разрезах и кубах данный пласт (интервал отражений III–II) выглядит однородным.

Результат применения сейсмотехнологии «генетическая инверсия».



Эффективный параметр, характеризующий вероятность наличия трещиноватости. Методика распознавания тещиноватых сред

Задача 5

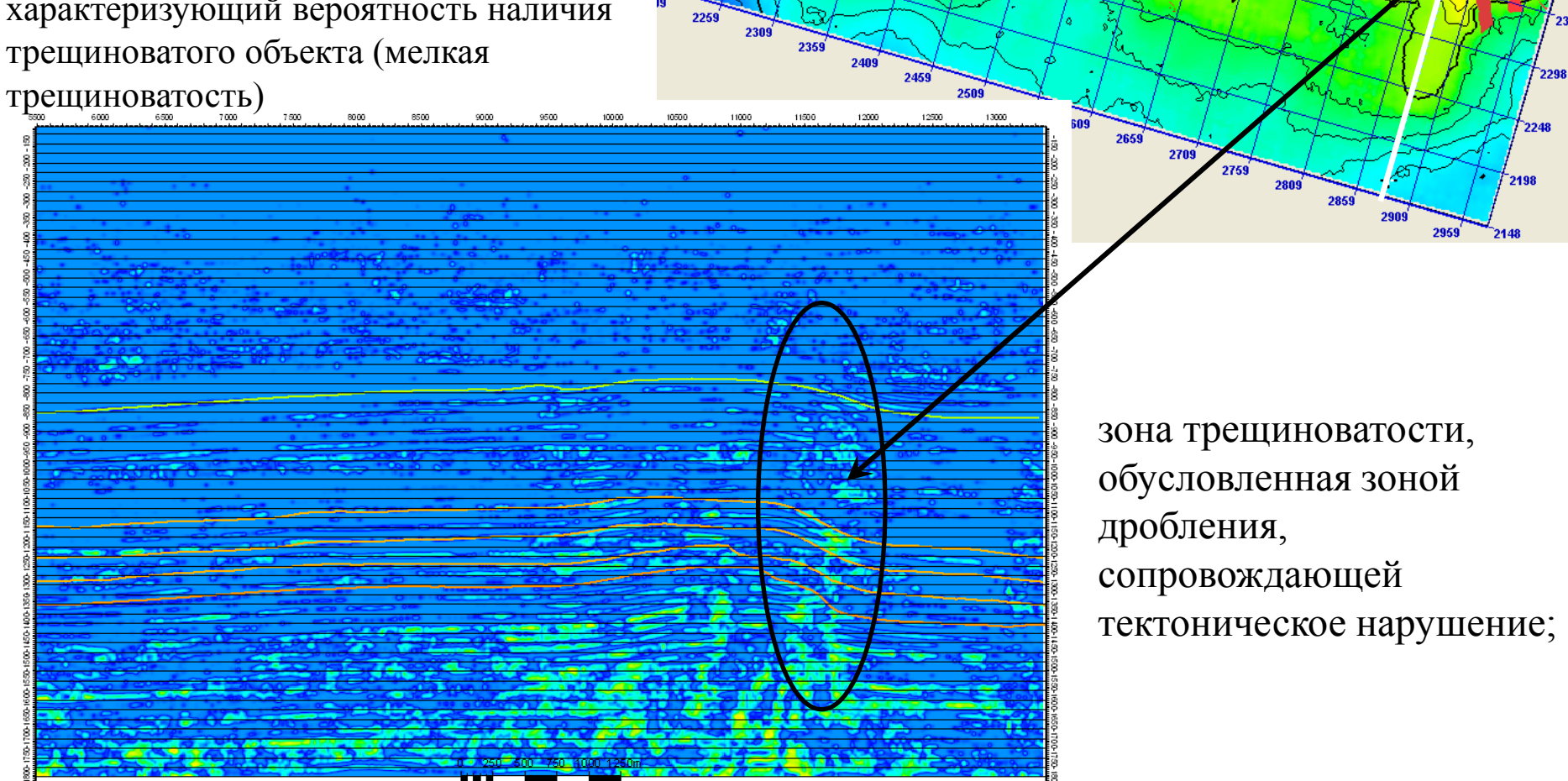
Картирование и трассирование вероятных тектонических нарушений, не выделяемых традиционными методами:

- безамплитудных;
- малоамплитудных

Эта задача решается благодаря выделению зон трещиноватости, обусловленных зоной дробления, сопровождающей, как правило, тектонические нарушения;

Северный сектор акватории Каспийского моря

Разрез эффективного параметра характеризующий вероятность наличия трещиноватого объекта (мелкая



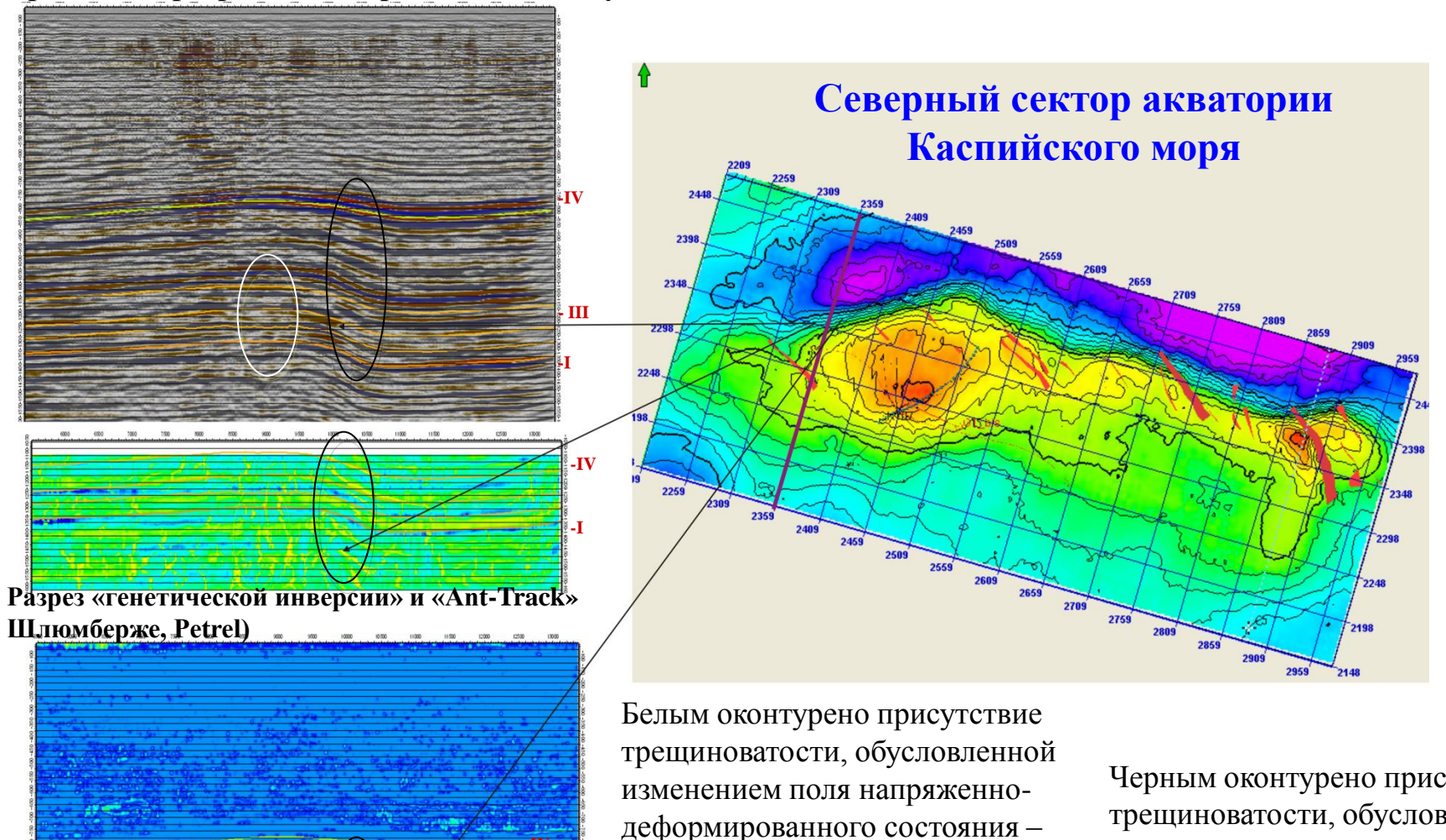
2398.

2298

Выделение трещиноватых зон, обусловленных изменением напряженно-деформированного состояния, связанного:

- с морфологией геологического тела, например, в своде антиклинальной структурой;
- с работами ГРП, трещинами гидроразрыва

Временной разрез 2-D из традиционного куба 3-D.



растягивающие напряжения в

проявляется, нарушений не

прослеживается.

своде центральной части поднятия.

На временных разрезах (кубах) не

Разрез эффективного параметра характеризующий вероятность наличия трещиноватого объекта (мелкая трещиноватость)

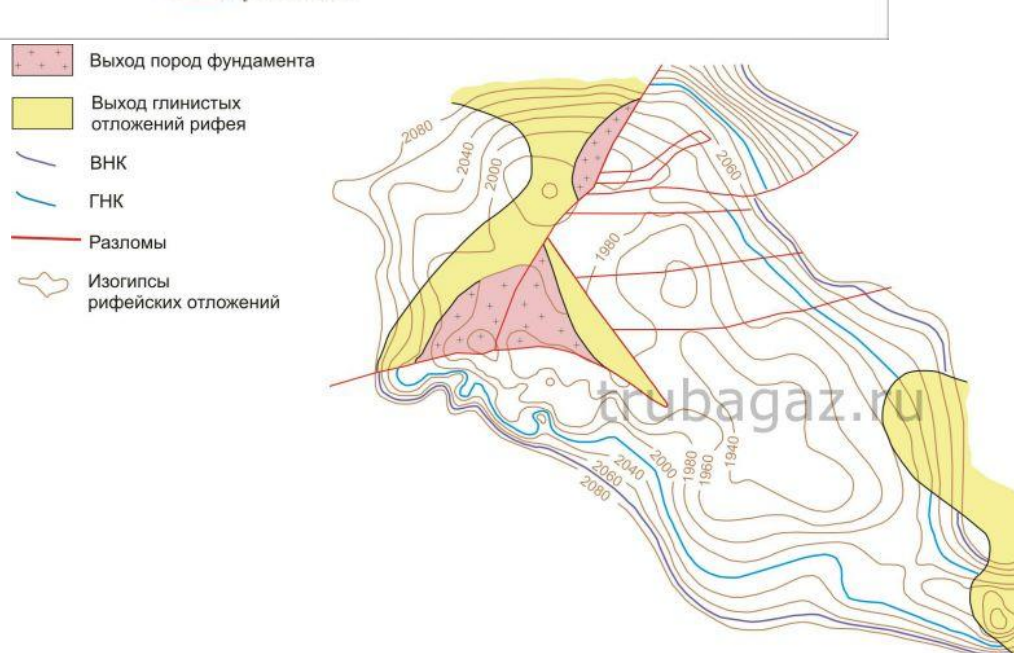
Черным оконтурено присутствие трещиноватости, обусловленной изменением поля напряженно-деформированного состояния — тангенциальные напряжения в районе резковыраженной флексуры поднятия (серерный склон).. На временных разрезах (кубах) не проявляется, нарушения не прослеживаются.

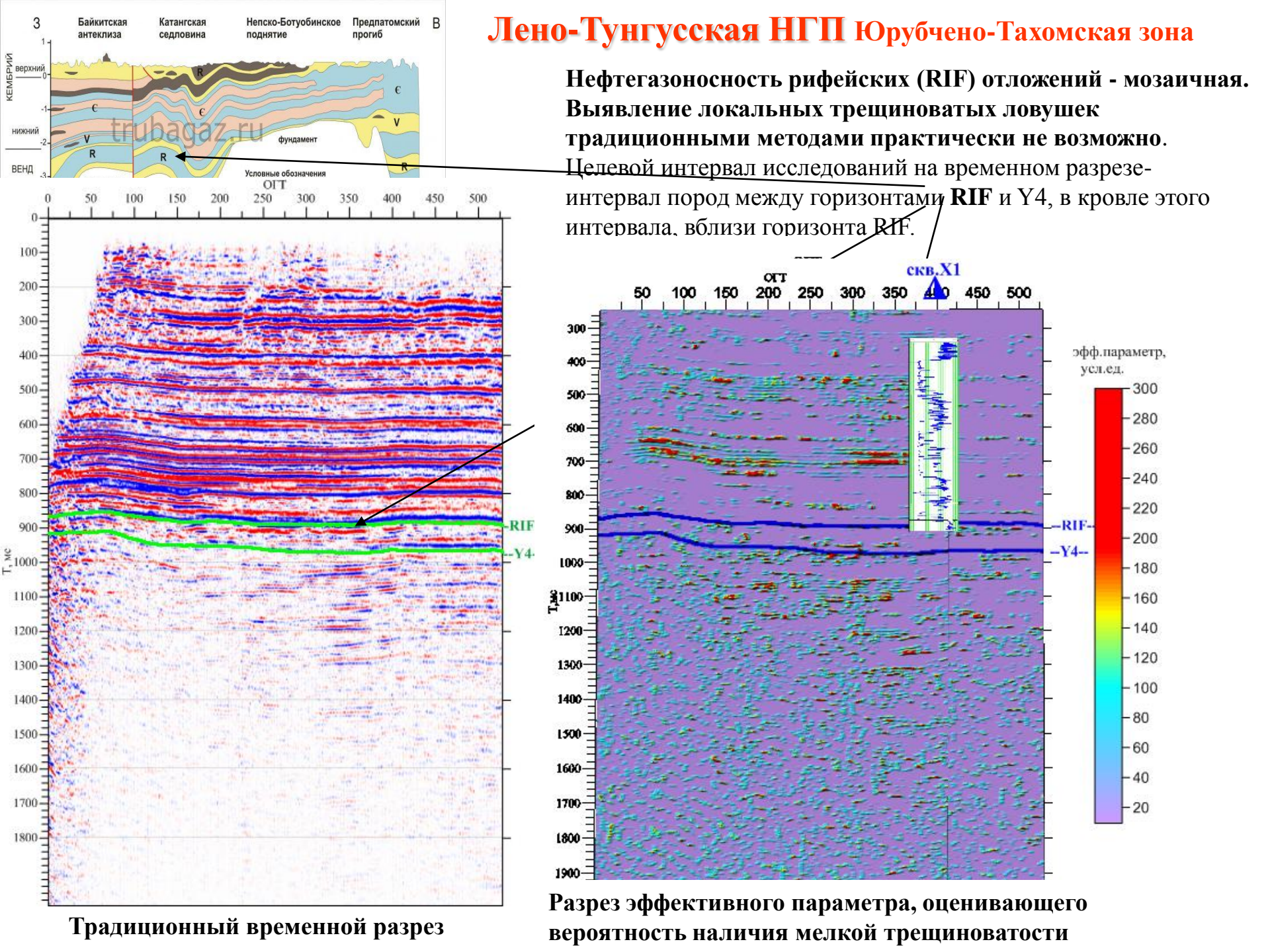


Нефтегазовые залежи расположены непосредственно под поверхностью регионального несогласия, разделяющего рифейские (\mathbf{R}) и вендские (\mathbf{V}) образования. Коллектор рифейских карбонатных отложений (RIF) — порово-каверно-трещинный тип. Преимущественна каверно-трещинная емкость. Проницаемость обеспечивается наличием трещиноватости.

Главная особенность - значительная латеральная неравномерность фильтрационно-емкостных свойств, В следствие этого сильные вариации дебитов углеводородов из скважин, вскрывших залежь на разных участках.

Нефтегазоносность рифейских (R) отложений - мозаичная. Выявление локальных трещиноватых ловушек традиционными методами практически не возможно.





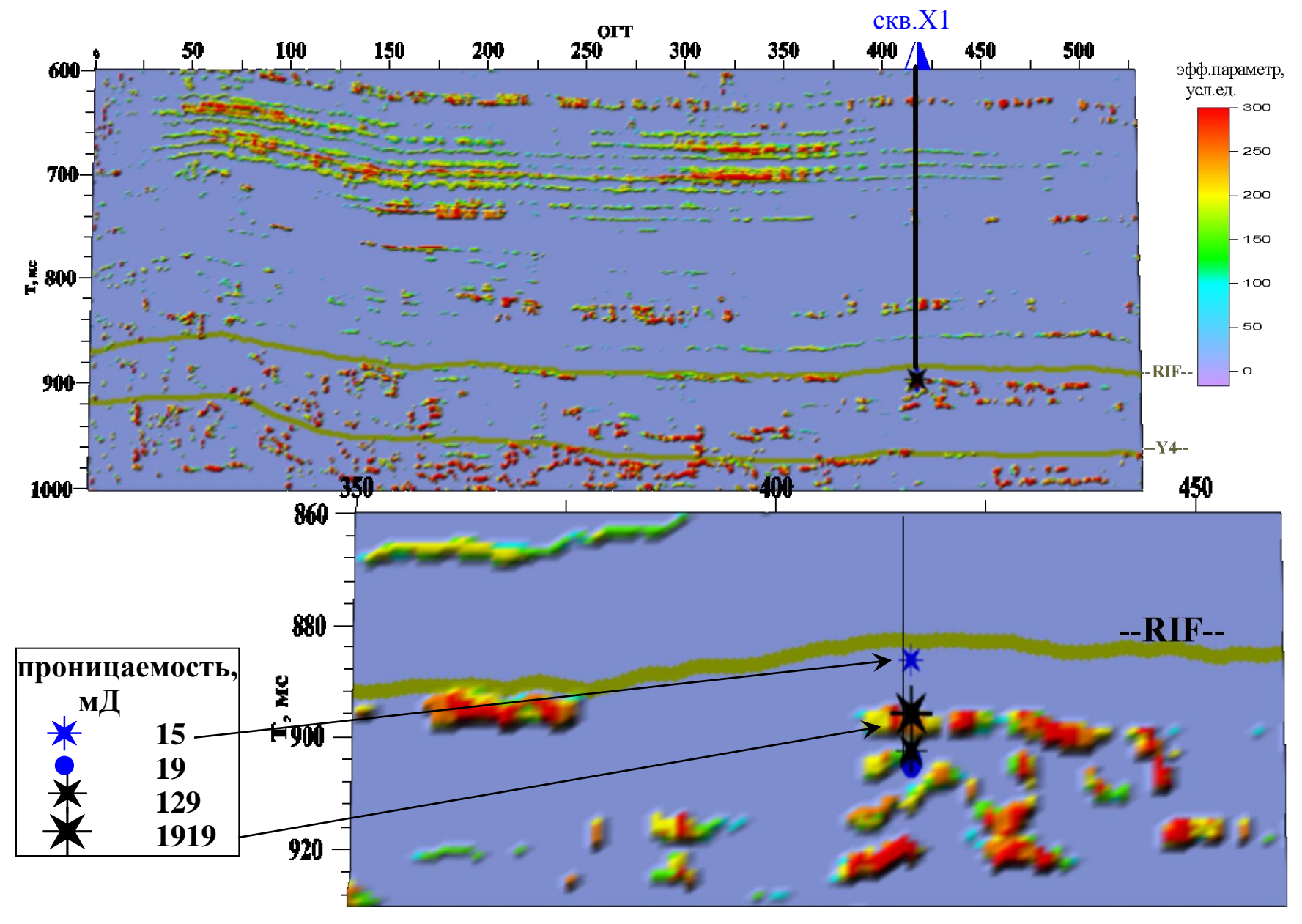


Рис. 7. Распределение эффективного параметра трещиноватости и данные о проницаемости.(crX1X1 ckvX1)

Метод рассеянной компоненты.

По данным ЗАО «**Красноярскгеофизика**» В. А. Поздняков, Д.В. Сафонов. В. В. Шиликов. «Прогноз распространения зон трещиноватости по данным сейсморазведки в пределах Юрубчено-Тохомской зоны.»

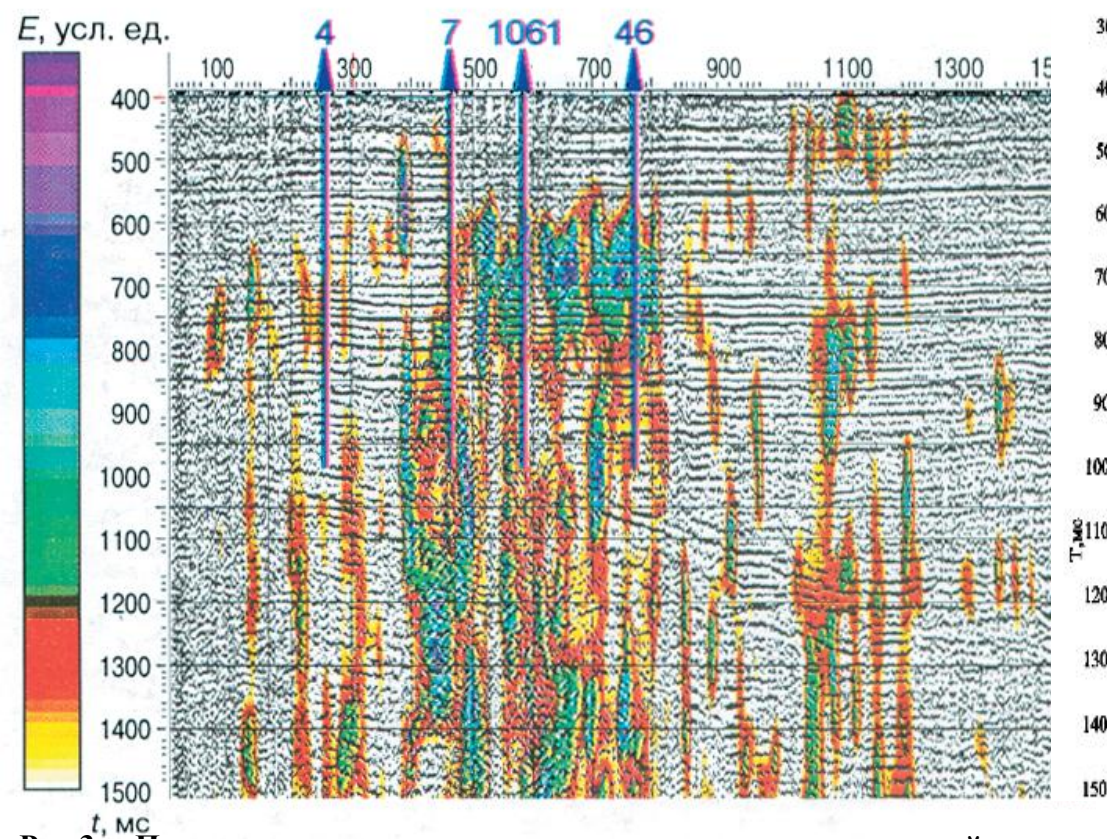


Рис.З а. Поле энергии рассеянных волн, наложенное на временной разрез инлайна:по шкале значения рассеянной энергии увеличиваются вверх.

Решение обратной задачи по этому методу неоднозначно. Физических причин наведения поля вторичных рассеянных волн, существует ножество:литологические неоднородности, минералогические неоднородности, структурные дифракторы, трещиноватость, выклинивания, палеорусла и.т.д.)

При интерпретации следует принимать во внимание то обстоятельство, что отображение даже точечного аномалиеобразующего объекта формируется как интегральный отклик на вторичное точечное возбуждение.

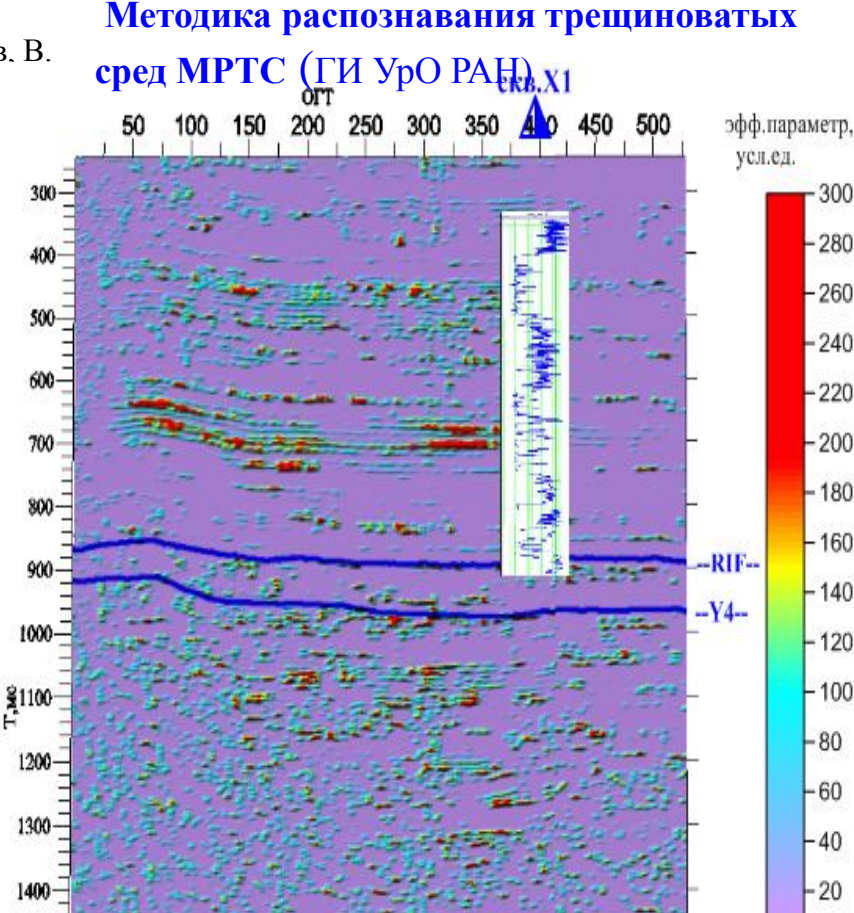


Рис3 б. Разрез эффетивного параметра, хаоактеризующего вороятность наличия мелкой трещиноватьости

При сравнении результатов применения МРТС с методом рассеянной компаненты отличия в высокой вертикальной и латеральной детальности картирования трещиноватых объектов очевидны

Задача 2

Картирование эффективных толщин Нэф в трещиннокавернозных резервуарах в межскважинном пространстве для подсчета запасов

Эти задачи решаются благодаря возможности высокоразрещающей локализации по латерали и глубине. наиболее вероятной трещиноватости и оценки параметров Н эфф, и h - мощности отдельного трещиноватого пропластка.

Подсчёт начальных геологических запасов нефти проводился объёмным методом по формуле:

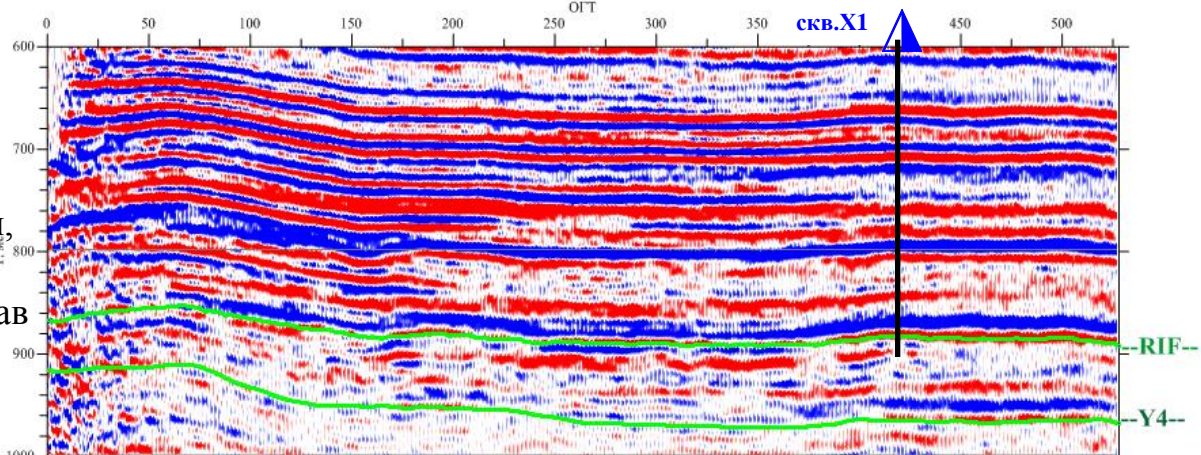
$$V_{\mathcal{H}} = \sum_{\substack{poligon\ S}} \sum_{\text{ГДе:}} (H_{\mathcal{F}} \phi_{\mathcal{H} \cdot i} \times K n_i \times K n_i \times K \mu_i \times S_i) \times \rho_{\mathcal{H}} \times \theta$$

$$Kn_i$$
 — пористость коллектора в ячейке модели;
 KH_i — коэффициент нефтенасыщенности в ячейке модели;
 S_i — площадь ячейки.

ячейки;

 $\rho_{\scriptscriptstyle H}$

- пересчетный коэффициент, учитывающий усадку нефти при переводе ее из пластовых условий в поверхностные, долі В Юрубчено-Тахомской зоне ни по стандартному комплексу ГИС, ни по временным разрезам трещинные коллекторы не выделяются, поэтому ошибки определения эффективных толщин Н эфф -параметрав для подсчета запасов, 900 могут составлять сотни процентов.



Применение МРТС

Разрез эфф. параметра наличия трещиноватости



h отдельный трещиноватый пласт

Улучшенные фильтрационноемкостные свойства — в интервалах перфорации, попавших в трещиноватые пласты;

Пониженные ФЭС – в пространствах между трещиноватых пластов

Задача 3

- Обоснование координат точки заложения скважин под первоочередное поисковое и последующее разведочное бурение и интервалов перфорации.
- Обоснование корректировки параметров проектирования горизонтальных скважин и других элементов разработки месторождений.

Эти задачи решаются благодаря возможности детальной локализации наиболее вероятной трещиноватости по латерали и глубине.

А также - возможному прогнозированию преимущественного направления трещиноватости

Примеры параметров выявленных зон трещиноватости в межскважинном пространстве и вблизи скважин на примере Юрубчено-Тахомской зоны

профиль	номер скв. и пк на профи ле	видимая локал изаци я зоны трещи новато сти	видимая эффективна я мощность зоны трещиноват ости Н эфф	внутренняя структура зоны трещиноватости	вероятная приему щественная ориентация трещин
crossline X1X1	скв.Х1 пк= 416	пк= 415-500	\mathbf{H} эфф = 93 м ($\mathbf{T}0 = 896-924 \text{ мc}$)	Дифференцируется: выделяются 4 слоя с трещиноватостью: видимая мощность отдельного слоя варьирует $\Delta h = 3 - 17.5 \text{ M}$ ($\Delta T0 = 1 - 5 \text{ mc}$)	Разнонаправленная
Iline Y2Y2	скв. Y2 пк= 117	пк= 0- 120	Н эфф = 144 м (T0 = 880-920 мс)	Дифференцируется: выделяются 6 слоев с трещиноватостью: видимая мощность отдельных слоев варьирует $\Delta h = 3 - 18.25 \text{ M}$ ($\Delta T0 = 1 - 5 \text{ мc}$) - выделяется трещиноватость, выдержанная вдоль пласта в кровле интервала по ОГ «RIF»	Квазивертикальная субмеридион альная Разнонаправленная



ЗАКЛЮЧЕНИЕ

аким образом, специализированная интерпретация данных сейсморазворасти.

распознвания трещиноватых сред позволяет:

- характеризовать и картировть «напрямую» зоны трещиноватости коллекторы с улучшенными фильтрационно-емкостными свойствами;
- детализировать геологическое строение путем получения дополнительной информации и новых знаний о разрывных нарушениях различного ранга;
- получать сведения о характеристиках флюидопроводящих каналов различных классов, являющиеся основой фильтрационной-емкостной модели резервуара;
- уточнять геометрические параметры трещиноватых коллекторов в межскважинном пространстве, их латеральной распространение, что позволяет оценить эффективные толщин для подсчета начальных запасов;
- производить корректиовку параметров проектирования горизонтальных скважин и других элементов разработки месторождений.

Полученные результаты позволили расширить представление о внутренней пространственной дифференциации пород по степени их неконсолидированности, когда визуальное ее выделение по морфологическим особенностям сейсмозаписи и результатам кинематической интерпретации затруднено





Приносим благодарность зам. начальника отдела «Прогнозирование нефтегазоносности и ГРР» Филиала ООО «ЛУКОЙЛ-Инжиниринг» «ВолгоградНИПИморнефть» Поповой П.Ф. и вед. специалисту Булеевой Н.В,

директору Славкину В. С., главному геофизику Зимеревой В. Л. ЗАО "Моделирование и мониторинг геологических объектов» им. В. А. Двуреченского,

- директору Бухману С. Х., гл. геологу Попову В.М. ООО «Новик»,
- профессору, д.т.н., зав. кафедрой Пермского национального исследовательского политехнического университета Кашникову Ю. А.,
- за интерес, проявленный к нашим работам, и предоставленную возможность использования временных разрезов и априорной информации, а также дискуссии и обсуждения результатов.